

شبیه سازی ذوب سیستمهای دوبعدی

سید مصطفی حسینی^۱ و سید محمد امینی^۲

۱- دانشکده علوم انسانی و پایه، دانشگاه ایلام

۲- دانشکده فیزیک، دانشگاه صنعتی اصفهان

(دریافت مقاله: ۷۹/۴/۱۳ دریافت نسخه نهایی: ۷۹/۱۱/۱۹)

چکیده

در این مقاله، سیستمهای دوبعدی از دیدگاه نظری، تجربی و شبیه سازی کامپیوترا مورد بررسی قرار گرفته و سپس مراحل انجام شبیه سازی دینامیک مولکولی تشریح شده است. ذوب یک بلور نمک یونی دوبعدی را توضیح داده و نتایج شبیه سازی سیستمهای با ۱۶ و ۲۵۶ ذره ارایه می‌گردد. نتایج نشان می‌دهد که گذار ذوب مورد شبیه سازی از نوع مرتبه اول است. سیستم مورد شبیه سازی را پس از ذوب گرم کرده و سپس مایع گرم را سرد کرده تا منجمد شود، که در این دما سیستم به ساختار بلوری برمی‌گردد.

واژه‌های کلیدی: شبیه سازی، دینامیک مولکولی، ذوب دوبعدی، KCl

۱. مقدمه

توپولوژیکی مبتنی هستند. این ناراستیها انواع مختلفی دارد که هر نظریه یکی یا بیشتر از این انواع را بررسی می‌کند. نظریه کاسترلیز و تولس، (KT) [۱ و ۲]، عامل ذوب را «گردابها» می‌داند. نظریه هالپرین، نلسن و یانگ (HNY) [۵-۳] پیشنهاد می‌کند که ذوب در اثر «گسیختگی در رفتگیها و ضد انحرافها»^۱ اتفاق می‌افتد. جوی [۸-۶] نشان داد که «مرز دانه‌هایی» با زاویه کم می‌توانند جامد را از طریق یک گذر مرتبه اول به مایع همگن تبدیل کنند، در حالی که چوز و دوسبری [۹] نتیجه گرفتند که گذار ذوب بیشتر به علت «تهیجاها و ذرات میانین» است.

عامل گذار KT، گسیختگی زوج گردابها می‌باشد. گسیختگی گردابها در دمایی رخ می‌دهد که ضریب جفت شدگی K به سمت صفر میل کند. نظریه KT گذاری پیوسته (مرتبه دوم) از فاز دمای پایین، که به وسیله نظم بلند برد مشخص می‌شود، به فاز

در چند دهه اخیر بررسی سیستمهای دوبعدی به طور جدی مورد توجه قرار گرفته است. علت این امر در اهمیت لایه‌های نازک در بیشتر رشته‌های علوم و مهندسی مانند نیمه رساناها، ابر رساناها، ابر سیالها، اپتیک و غیره نهفته است. به همین علت نظریه پردازان سعی کردنند نظریه جامعی درباره رفتار سیستمهای دوبعدی ارایه دهند که به دنبال آنها کارهای تجربی وسیعی انجام شده و در نتیجه هم نظریه‌ها و هم آزمایشها به طور چشمگیری تکامل یافته‌اند. کارهای شبیه سازی کامپیوترا را که می‌توان به عنوان پلی بین نظریه و آزمایش محسوب کرد، در این روند تکامل سهم بسزایی داشته است.

۱-۱. مفاهیم اساسی و نظریه‌ها

نظریه‌های ذوب دوبعدی معمولاً بر ایده فیزیکی ناراستیها

1. disclinations

ناراستیهای نقطه‌ای مانند تهیجاها و ذرات میانین هم ممکن است نقش مهمی در فرایند ذوب بازی کنند. به علت مغز سخت بودن بیشتر برهمکنشهای اتمی، معمولاً انرژی تهیجاها از ذرات میانین خیلی پایینتر است. جوز و دوسیری [۹] اخیراً محاسبات دمای صفر انرژیهای ناراستی در سیستمهای گازهای کمیاب را انجام دادند. انرژی پایینی که برای تهیجاها جایگزینده محاسبه شد، آنها را بر آن داشت که نتیجه بگیرند که گذار ذوب بیشتر به علت تهیجاهاست تا اینکه به علت گسیختگی دررفتگیها.

۱-۲. بحثهای تجربی گذار ذوب دو بعدی

در بررسی طبیعی گذار ذوب دو بعدی، چهار نوع سیستم تجربی بحث شده است: (الف) فازهای لایه‌ای بلور - مایع، (ب) الکترونها روی سطح هلیوم مایع، (ج) انواع گازهایی که روی گرافیت جذب سطحی می‌شوند و (د) کره‌های باردار معلق در آب با اندازه کمتر از میکرون.

گازهای جذب سطحی و لایه‌های بلور - مایع به علت برهمکنش با زیرلایه و تشکیل لایه‌های اضافی نمی‌توانند سیستمهای دو بعدی ایده‌آلی باشند. در حالی که الکترونها معلق روی هلیوم مایع مثال تقریباً خوبی از یک دستگاه دو بعدی است. البته اعتبار اندازه گیریها حتی برای این دستگاه محدود است. همچنین تفسیر این اندازه گیریها مستلزم داشتن داده‌های نظری زیادی است که یک امر سرراست نخواهد بود. سیستم کره‌های باردار زیرمیکرونی نوعاً پلی بین آزمایش و شبیه سازی محسوب می‌شود. چون کره‌ها ماکروسکوپی هستند حرکت آنها مستقیماً مشاهده می‌شود و برای مثال، تابعهای همبستگی با عکس برداری محاسبه می‌شود.

در فیلمهای بلور - مایع فاز هگزاتیک دوربرد مشاهده شده است. این فاز در آزمایشهای پراکنده اشعه ایکس به وسیله نظم موقعیتی کوتاه برد شبه مایعی مشخص می‌شود. در فاز هگزاتیک ستاره‌ای پیدا می‌شود که دستهای آن مناطقی را جدا می‌کنند که در آنها محورهای مولکولی (و در نتیجه چهتهای پیوند) منظم می‌مانند. این امر توافق خوبی را با نظریه KTHNY نشان می‌دهد.

گذار ذوب الکترونها روی سطح هلیوم مایع ممکن است به وسیله یک پارامتر T_m که با ریشهٔ مریعی چگالی تقسیم بر دما متناسب است بیان شود. همهٔ داده‌های تجربی روی سیستم

غیر منظم دمای بالا را پیشگویی می‌کند. گذار فقط به وسیلهٔ تکینه‌های اصلی در انرژی و گرمای ویژه مشخص می‌شود. پیشگوییهای نظریه KT برای ابرسیالها، ابررساناهای و مدل XY دو بعدی به وسیله آزمایش [۱۰] و شبیه سازی کامپیوتری [۱۱ و ۱۲] تایید شده است.

به علت اشکالاتی که در نظریه KT پیدا شده است، مانند تشخیص نوع از ناراستیهای توپولوژیکی، نظریه HNY (HNY) به وجود آمد. نظریه این گذار نوعاً با آنچه که در بالا درباره گسیختگی گرداب گفته شد متفاوت است و به این حقیقت مربوط است که دررفتگی نه به وسیله یک اسکالر (بار) توصیف می‌شود بلکه به وسیله یک بردار به نام بردار برگر^۱ تعریف می‌شود. این بردار عبارت از میزان مسیر بسته نشده اطراف یک دررفتگی است.

علاوه بر دررفتگی، در جهت‌گیری پیوندهای نزدیکترین همسایه نظم بلند بود وجود دارد. هالپرین و نلسن دریافتند با وجود اینکه گسیختگی جفتهای دررفتگی نظم موقعیتی شبه بلند برد را در می‌شکنند، ولی جهت‌گیری پیوندهای نزدیکترین همسایه سیال هنوز نظم شبه بلند برد را دارد. نوع دومی از ناراستیهای بلوری که این نظم زاویه پیوند را می‌شکند، ضد انحراف نام دارد. یک ضد انحراف می‌تواند به صورت اتمی باشد که دارای تعداد نادرستی از نزدیکترین همسایه‌ها است. یک گذار گسیختگی دررفتگی با دمای T_m مشخص می‌شود و یک گذار گسیختگی ضد انحراف با دمای T_i و فاز بین این دو دما به فاز هگزاتیک معروف شده است.

چوی پیشنهاد کرد که ذوب ممکن است به علت تکثیر مرز دانه‌ها باشد [۸]. مرز دانه‌ها تحریکهای دسته جمعی دررفتگیها هستند. مرز دانه اثر چرخاندن قسمتی از بلور نسبت به قسمت دیگر را دارد. با وجود اینکه این مرزدانه ممکن است به صورت زنجیره‌ای از دررفتگیها دیده شود، مرزدانه‌های موازی بیشماری با یک پتانسیل غیربلند برد بر همکنش دارند. لذا یک گذار KTHNY با یک گذار مرزدانه‌ای متفاوت است.

فیشر، هالپرین و مورف [۶] اظهار داشتند که همبستگی دررفتگیها در فاز هگزاتیک یک بستگی زاویه‌ای را نشان می‌دهد که ممکن است به صورت تمایل شدید دررفتگیها برای تنظیم خود در مرزدانه‌هایی با زاویه کوچک توصیف شود. لذا حضور حلقه‌های مرزدانه‌های در نقشه‌های ناراستی که از شبیه سازیها به دست می‌آیند نباید به عنوان مدرکی بر علیه فاز هگزاتیک و به نفع گذار به مایع همسانگرد تفسیر شود.

اندازه یک فاصله کوچک است. طول این گام زمانی باید طوری انتخاب شود که از مرتبه مقیاس واقعی زمان میکروسکوپی سیستم باشد. دینامیک مولکولی این مزیت را دارد که اجازه می دهد به دینامیک واقعی ذرات رسیدگی شود. روش دینامیک مولکولی در مجموعه آماری میکروکانونی (انرژی ثابت) شبیه سازی مناسبی از یک سیستم فیزیکی است، گرچه بسط و تعمیم این روش به مجموعه های آماری دیگر در سالهای اخیر انجام شده است [۱۶]. در روش مونت کارلو [۱۷]، همان طوری که از نامش پیدا است، روی حرکتها که از یک توزیع تصادفی انتخاب می شوند متكی است. این حرکتها با مقایسه احتمال آماری مناسب با یک عدد تصادفی پذیرفته و یا رد می شوند.

انتخاب مجموعه آماری می تواند روی نتایج کار تأثیر مهمی داشته باشد. مثلاً در مجموعه آماری با چگالی ثابت این مزیت وجود دارد که افت و خیزهای محلی چگالی (و در نتیجه ناراستیهای محلی مانند تهیجاها) در سیستمها اتفاق نمی افتد. در شبیه سازی مجموعه آماری با فنار ثابت هیچ فاز هگزاتیکی مشاهده نشده است [۱۸]. در حالی که یک منطقه همزیستی جامد - مایع مشاهده شده است [۱۹]. در مجموعه آماری با پتانسیل شیمیایی ثابت افت و خیزهای محلی اجازه دارند که رخ دهند [۲۰].

در انتخاب شرایط مرزی باز هم آزادی وجود دارد. بیشتر بررسیهای شبیه سازی ذوب دو بعدی از شرایط مرزی دورهای استفاده می کنند [۲۱]. در سالهای اخیر از شرایط مرزی آزاد هم استفاده شده است [۲۲]. هر کدام از این انتخابها مزیتها و معایبی دارند.

محدودیت اندازه نمونه شبیه سازی شده نیز روی نتایج کار مؤثر است [۲۳]. واضح ترین اثر محدودیت اندازه، از میان بردن تفاوت بین گذار مرتبه اول و گذار پیوسته است. چون در شبیه سازیها، رسیدن سیستم به حالت تعادل یک مسئله سرنوشت ساز است، بررسی محدودیت زمانی نیز یک امر مهم است [۲۴]. مثلاً به علت کوتاه بودن زمان شبیه سازی نمی توان از پسماند به عنوان شاخص مفیدی برای گذار مرتبه اول استفاده کرد، چون ممکن است پسماند به گرم کردن و یا سرد کردن سریع در حین گذار مربوط باشد.

با توجه به مشکلاتی که در بالا به آنها اشاره شد ممکن است این سوال مطرح شود که آیا شبیه سازی در بررسی این زمینه مفید است یا خیر؟. البته چند مزیت در استفاده از شبیه سازیهای کامپیوتروی برای بررسی ذوب دو بعدی وجود دارد. شبیه

الکترون دو بعدی نظریه ذوب KTHNY را تایید می کنند. متأسفانه این آزمایشها اطلاعاتی درباره نظم جهتی پیوند دبر ندارند که در نتیجه نمی توان درباره پیشگوییهای فاز هگزاتیک HNY توضیحاتی داد.

سیستم جذب سطحی کریپتون روی گرافیت به خوبی به وسیله پتانسیل لنارد - جونز توصیف می شود. حالتهای زمینه این سیستم یک جهت ارجح نسبت به محورهای بلور گرافیت را دارند. نظم جهتی پیوند بلندبرد همیشه به وسیله زیرلایه اعمال می شود. اثر این نظم از بین بردن هرگذار ممکن از حالت هگزاتیک به حالت همسانگرد می باشد. فازهای مایع دو بعدی در این سیستمها همیشه نظم جهتی پیوند بلندبرد زیرلایه القایی دارند.

آزمایشها جدید [۱۳]، گذار ذوب کره های باردار زیرمیکرونی معلق در آب و محبوس بین صفحه های شیشه ای را به خوبی بررسی کرده اند. چون کره ها به وسیله صفحه ها دفع می شوند، فشردن صفحات به هم دیگر چگالی کره ها را کم می کند. این آزمایشها در یک گوه شیشه ای انجام شده است. عکس برداری از نقاط مختلف گوه اطلاعاتی در گستره ای از چگالیها می دهد. هر عکس حدوداً ۲۰۰۰ حاوی کره است. تجزیه و تحلیل این عکسها و مقایسه آنها با تصویر KTHNY درباره جفت های ناراستی کار ساده ای نمی باشد. نظریه KTHNY رفتار در مقیاسهای بزرگ را توصیف می کند و تصویر واضحی از اینکه فاز هگزاتیک در مقیاس اتمی چگونه باید ظاهر شود نمی دهد. فقدان چنین تصویری، این دو موضوع را که آیا ناحیه میانی مشاهده شده در بعضی شبیه سازیها یک فاز هگزاتیک است و یا یک ناحیه همزیستی، تفکیک ناپذیر می سازد. به هر حال، سیستم کره ای باردار برای تحقیق درباره مسئله واقعی ذوب دو بعدی در یک سیستم تجربی بسیار امید بخش است.

۱-۳. شبیه سازیهای کامپیوتروی

دو روش شبیه سازی معمولاً مورد استفاده قرار می گیرد، دینامیک مولکولی و مونت کارلو. در هر دو روش نتایج مربوط به مقادیر موردن توجه به صورت میانگین گیری روی ذره های تولید شده به وسیله تکرار یک الگوریتم ساده به دست می آیند که این الگوریتم حرکت تمام ذرات را تنظیم می کند.

روش دینامیک مولکولی [۱۶-۱۴]، به وسیله انتگرال گیری عددی معادلات حرکت نیوتن محاسبه می شود. پیشرفت زمانی در انتگرال گیری «گام زمانی» نام دارد و مخصوص حرکت هر ذره به

شده است، سیستم بزرگتری انتخاب شده است (۲۵۶ ذره به صورت 16×16) که از لحاظ آماری بتوان نتایج بهتری را به دست آورد. شرایط مرزی استفاده شده شرایط مرزی آزاد و سیستم آماری انتخاب شده سیستمی با انرژی و تعداد ذرات ثابت است. نیروی برهمنکنش بین دو یون A و Z به فاصله r_{ij} از یکدیگر قرار دادند از دو جمله سخت و نرم تشکیل شده است.

$$F(r_{ij}) = \frac{q_i q_j}{|r_{ij}|^2} \left[1 + \text{sign}(q_i q_j) \left(\frac{S_i + S_j}{|r_{ij}|} \right)^P \right] r_{ij} \quad (1)$$

در این رابطه q بار الکتریکی و S نشان دهنده اندازه یون و متناسب با شعاع یونی است و پارامتر P مشخص کننده سختی نیروی دافعه میان یونها است که در این شبیه سازی $P=8$ است. معادلات حرکت به صورت زیر هستند.

$$\frac{dr_i}{dt} = v_i \quad (2)$$

$$m_i \frac{d^2 r_i}{dt^2} = \sum_{j \neq i, j=1}^N F_{i,j}(r_i, r_j) \quad (3)$$

برای حل معادله دیفرانسیلی (۳) روش استاندارد، استفاده از تفاضلهای متناهی است [۲۷]. در دینامیک مولکولی برای حل معادلات از الگوریتمهای متفاوتی استفاده شده است. در بین این الگوریتمها روشی ساده به نام پرش قورباغه‌ای^۱ [۲۸ و ۲۹] را انتخاب کردیم زیرا که ساده است، برای گام زمانی بزرگ پایدار است و تقارن دارد و در نتیجه برگشت پذیر است. این روش به شکل زیر است:

$$v_{n+\frac{1}{2}} = v_{n-\frac{1}{2}} - \frac{F_n}{m} DT \quad (4)$$

$$r_{n+1} = r_n - v_{n+\frac{1}{2}} DT \quad (5)$$

در این روابط، r_n و F_n/m مکان و شتاب در گام زمانی n و سرعت در گام زمانی $\frac{1}{2}$ سرعت در گام زمانی $n+1/2$ و $DT=6\text{ fs}$ برای سیستم، $DT=4\text{ fs}$ برای سیستم 64×64 ذره‌ای و شرایط تعادلی سیستم، برای سیستم 256×256 ذره‌ای انتخاب شده است. سرعت در گام زمانی n نیز از میانگین حسابی در نیم گام قبل و بعد از گام

1. leap frog

سازیهای کامپیوتری به ما امکان تغییر برهمنکنشهای ذره‌ای را می‌دهند تا اینکه بستگی رفتار ذوب به نوع پتانسیل مورد بررسی قرار گیرد. همچنین شبیه سازیها اجازه می‌دهند سیستمهای دقیقاً دو بعدی بررسی شوند. اثر میدانهای نظم زیرلایه هم ممکن است بحث شود و از اثرات حرکت در بعد سوم تمیز داده شود. و در پایان، شبیه سازیها اجازه ورود به پیکربندیهای میکروسکوپی می‌دهند و حدسهای لازم برای تفسیر نتایج تجربی را برطرف می‌سازند. برای مثال، می‌توان عکس آنی از ناراستیهای بلور و حرکت ذرات به دست آورد.

آخرأ ری و همکاران [۲۵] در یک شبیه سازی دینامیک مولکولی به مطالعه خوشاهای کوچک پرداختند. در این مطالعه از پتانسیل عکس توانی عمومی $m-n$ استفاده شده و مطالعه گسترده‌ای برای بررسی اثر تغییرات نرمی مغز (با تغییر m و n) در فرایند ذوب انجام گرفته است. آنها دریافتند که اگر نرمی مغز پتانسیل تغییر کند در فرایند ذوب دو مرحله‌ای تأثیر خواهد گذاشت. در بعضی خوشاهای با اندازه‌های خاص پدیده ذوب پیش‌رس اتفاق می‌افتد. همچنین فاز شبه پایدار هنگامی که پتانسیل سخت‌تر انتخاب شود بیشتر قابل مشاهده است.

در مطالعه شبیه سازی دینامیک مولکولی دیگری که اخیراً به وسیله سن و گانگ [۲۶] انجام شده یک خوشة فلزی آلومینیومی شامل n ذره ($n=13,55,147, \dots$) را از دمای بالا سرد می‌کنند و تغییرات کمیتهای فیزیکی و ساختاری سیستم را برحسب دما مطالعه می‌کنند. در این شبیه سازی اثر اندازه خوشه در ساختار نهایی آن مطالعه شده. در این بررسی همزیستی دوفاز شبه مایع و شبیه جامد به صراحت تایید شده است. همچنین برای خوشاهای بزرگ گذار ذوب مرتبه اول مشاهده شده است.

۲. شبیه سازی حاضر و نتایج آن

در بررسی حاضر با استفاده از روش دینامیک مولکولی بلوری شامل N یون را به طور دو بعدی بررسی می‌کنیم. بلور انتخاب شده نمک یونی پتاسیم کلرید (KCl) است و پارامترهای به کار رفته بهنجار نشده، یعنی همان پارامترهای واقعی مثل شعاع یونها، جرم یونها و غیره به کار رفته‌اند. اندازه سیستم یک بار خیلی کوچک انتخاب شده است (۶۴ ذره به صورت 8×8) تا برنامه توشه شده با وقت کمتری آزمایش شود. وقتی که این کار برای چندین بار انجام شد و تغییرات لازم روی برنامه صورت گرفت و اطمینان کافی حاصل شد که برنامه از هر لحظه کامل

که در دمای معینی قرار دارد و تقسیم تمام سرعتهای یونها بر جذر این نسبت انجام داده و به این ترتیب بلور را برای مدت مشخص در دمای معینی نگه می‌داریم و پس از آن بلور را برای یک دوره چندهزار گام زمانی که دوره تعادل اولیه می‌نامیم، آزاد می‌گذاریم تا به تعادل برسد.

پس از این مرحله دوره گرمادهی شروع می‌شود. طول هر دوره گرمادهی بسته به تعداد ذرات سیستم 10000 (یا 15000) گام زمانی انتخاب شده است. در طی 10 گام اولیه همه سرعتها در ضربی $1/10000$ ضرب می‌شوند و به این ترتیب پالس گرمایی به بلور داده می‌شود. پس از آن در 6000 (یا 10000) گام بعدی بلور را به حال خود رها می‌کنیم تا به تعادل در آید. 3900 (یا 4900) گام باقی مانده نیز صرف محاسبات میانگین و تعیین دمای بلور می‌شود (داخل پرانتر مربوط به سیستم 64 ذره‌ای می‌باشد). این دوره گرمادهی تا ذوب شدن بلور و کمی پس از آن ادامه پیدا می‌کند. با تکرار همین مرحله از برنامه و تبدیل ضربی گرمادهی از $1/10000$ به $1/999$ می‌توان مذاب حاصله را سرد و تبدیل به بلور کرد. البته شرایط اولیه‌ای که بر سیستم اعمال می‌شود، فرض سرعت معین برای ذرات است به شرطی که تکانه خطی کل و تکانه زاویه‌ای کل سیستم صفر باشد. لذا دو زیربرنامه که به همین منظور نوشته شده‌اند در اول هر دوره اجرا می‌شوند.

در طول دوره 10000 (یا 15000) گام زمانی، سه زیربرنامه مرتب‌آجرا می‌شوند. در زیربرنامه اول در هر گام زمانی نیروی کلی وارد بر هر یون و همچنین انرژی پتانسیل هر یون محاسبه می‌گردد. در این قسمت به علت اینکه نیروی وارد بر ذره Δt از طرف ذره Δt است (قانون سوم نیوتون)، محاسبه نیروها در بالای قطر اصلی ماتریس یونها انجام می‌گیرد و مقادیر زیر قطر اصلی با توجه به مقادیر فوق محاسبه می‌گردد (مقادیر قطر اصلی صفر هستند). دو حلقه متداول که روند فوق را پیگیری می‌کنند، در ابتدا اندازه بردار فاصله بین دو یون با توجه به مقادیر مؤلفه‌های بردار مکان این دو یون محاسبه می‌گردد، پس از این مرحله با توجه به نوع یونها و برهمنکش مربوطه نیروی بین این دو یون و انرژی پتانسیل مربوط به این دو یون محاسبه می‌گردد. پس از این مرحله مقادیر نیروها و انرژی پتانسیل در بردارهای نیروها و انرژی پتانسیل کل هر یون ریخته می‌شود. نکته قابل توجه در این مرحله این است که به ترتیب فوق برای هر یون دو بار انرژی پتانسیل را به حساب آوردہ‌ایم و باید

زمانی Δt به دست می‌آید. یعنی:

$$(6) \quad v_n = \left(v_{n-\frac{\Delta t}{2}} + v_{n+\frac{\Delta t}{2}} \right) / 2$$

تذکر این نکته نیز لازم است که چون یونها در این شبیه سازی دو بعدی دارای دو درجه آزادی هستند و به صورت کلاسیک برسی می‌شوند، دما به صورت زیر به انرژی جنبشی کل میانگین وابسته است:

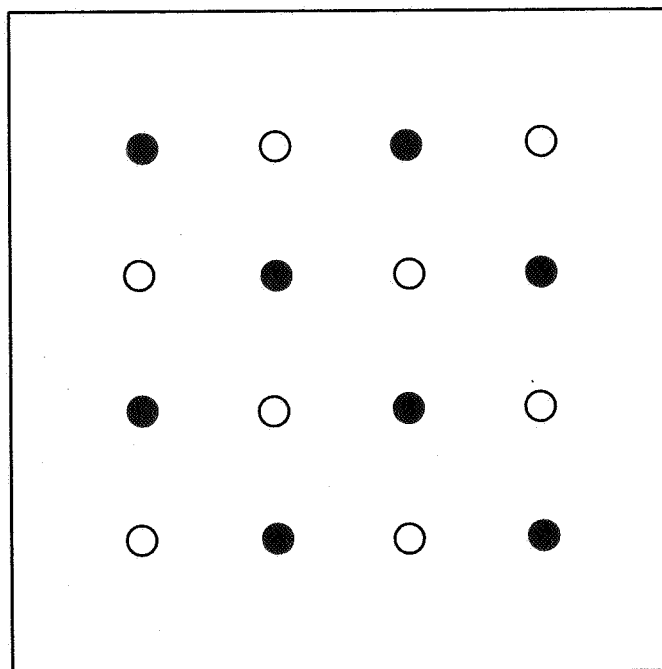
$$(7) \quad \sum_{i=1}^N \frac{1}{2} m_i v_i^2 = N k_B T$$

که در آن N تعداد ذرات سیستم، k_B ثابت بولتزمن و T دمای سیستم بر حسب کلوین می‌باشد.

۱- روند کلی برنامه

در این برنامه بلورهای ساده دواتمی را می‌سازیم. روش ایجاد بلور به این ترتیب است که فضای گسته را به صورت برداری (با دو جهت x و y) در نظر گرفته و هر کدام از این محورها را شماره گذاری می‌کنیم، اگر مجموعه دو شماره فضا زوج شد، این محل مختص یون مثبت است و اگر فرد شد به یون منفی تعلق دارد. به این ترتیب در هر دو راستای فوق، یونهای مثبت و منفی به صورت یک در میان قرار خواهند گرفت. شماری 16 ذره‌ای این روند در شکل ۱ نشان داده شده است.

ابتدا فاصله شبکه و همچنین تعداد یونهای بلور از طریق صفحه کلید دریافت می‌شوند و با اجرای برنامه مختصات و سرعت یونهای مثبت و منفی به ترتیب در فایلی ثبت می‌شوند به طوری که هر سطر معرف اطلاعات یک یون و هر ستون بیانگر مولفه بردار مختصه مکان و سرعت باشد. البته در بلوری که ساخته شده، به علت عدم تقارن نیروها برای یونهای سطحی، در وضع تعادل فاصله شبکه این یونها کوچکتر از فاصله شبکه یونهای مرکزی می‌باشد و در نتیجه بلور ایجاد شده در پاییترين سطح انرژی خود قرار ندارد و به این ترتیب انرژی پتانسیل نسبتاً بزرگی در بلور ذخیره کردایم و اگر بنا باشد بلور را به همین صورت رها کنیم پس از گذشت چند گام زمانی فرو می‌ریزد. برای جلوگیری از این عمل لازم است برای مدت معینی از بلور گرما و یا معادل آن انرژی بگیریم و شرط دمای ثابت معینی را بر روی آن اعمال کنیم. این عمل را با تعیین نسبت انرژی جنبشی میانگین یک یون بلور به انرژی جنبشی میانگین یک یون بلوری



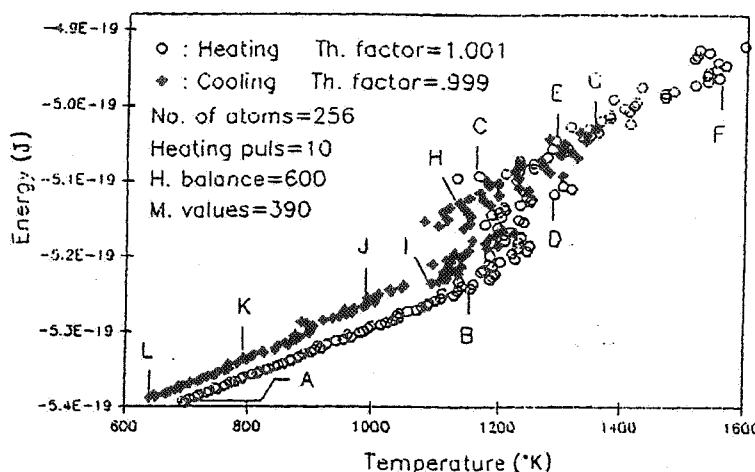
شکل ۱. شمای قرار گرفتن یونها در یک بلور دوبعدی KCl ۱۶ ذره‌ای.

جابجایی ذرات (MSD) (شکل ۳، ۴، ۵، ۶ و ۷)، و تابع توزیع زاویه پیوند (شکل ۸ و ۹). همچنین عکس‌های آنی (شکل ۱۰ و ۱۱) و عکس‌هایی از پیشرفت زمانی سیستم (شکل ۱۲ و ۱۳) یا چند ذره انتخابی (شکل ۱۴ و ۱۵) نیز نشان داده شده‌اند. در شکل ۲ سیستم را از حالت تعادل در نقطه A که در دمایی در حدود $K = 700$ است شروع کرده و به نحوی که در بخش ۲ گفته شد گرم کرده‌ایم. نتایج به دست آمده برای انرژی برحسب دما در انتهای هر دوره گرمادهی به صورت دایره‌های توخالی رسم شده‌اند. سیستم با گذراز نقطه B به C می‌رسد. در فاصله B-C می‌توان گفت که سیستم ذوب می‌شود و مایع حاصله در فاصله C تا F با عبور از نقاط D و E گرم می‌شود. وقتی دمای سیستم به حدود $K = 1600$ (نقطه F) رسید، با وارونه کردن فرایند گرمادهی (انتخاب ضریب $\alpha = 999/0$) سیستم را سرد می‌کنیم و با عبور از نقطه G بین نقاط H و I یک گذر فاز مرتبه اول مشاهده می‌شود که با برخی نتایج شبیه سازی‌های سه بعدی که نشان می‌دهند در حالت سرد کردن، گذر مرتبه دوم می‌باشد [۳۰]، متفاوت است. با ادامه فرایند سرد کردن، سیستم از نقاط I و L عبور می‌کند و به یک بلور منظم می‌رسد ولی روی

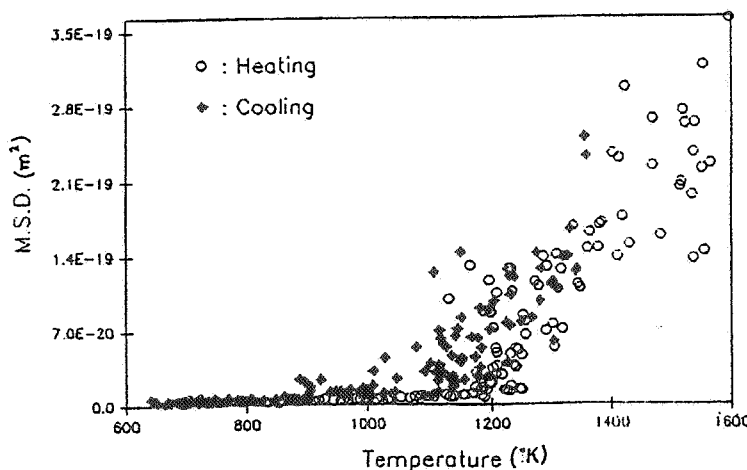
ضریب ۲ را از محاسباتمان حذف کنیم. در زیربرنامه دوم سرعتهای یونها و موقعیتهای مربوط به آنها در گام بعدی محاسبه می‌شود. در این قسمت در ابتدا سرعت طبق رابطه (۴) محاسبه می‌شود. پس از آن با توجه به سرعتهای به دست آمده، مختصات مربوط به یونها از رابطه (۵) محاسبه می‌گردد. در زیربرنامه سوم، در صورت لزوم، دمای بلور ثبیت می‌گردد. در این زیربرنامه ابتدا انرژی جنبشی کل بلور محاسبه می‌گردد و پس از آن نسبت این انرژی جنبشی به انرژی جنبشی یونهای بلوری که در دمای معین T می‌باشد محاسبه و جذر گرفته می‌شود و پس از این مرحله تمام سرعتها براین ضریب به دست آمده تقسیم می‌گردد. البته این کار فقط در موقع خاصی انجام می‌گیرد.

۲-۲. نتیجه‌گیری

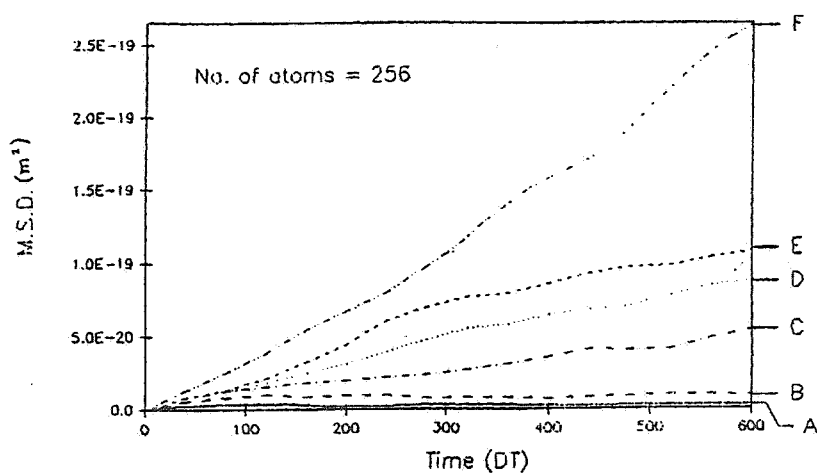
بعضی از نتایج به دست آمده از شبیه سازی ذوب و سرد کردن سیستم ۲۵۶ ذره‌ای به شکل نمودارهایی برحسب دما و یا زمان در شکلهای مستقل رسم شده‌اند. کمیتهایی که نمودار آنها نشان داده شده، عبارتند از: انرژی کل (شکل ۲)، میانگین مربع



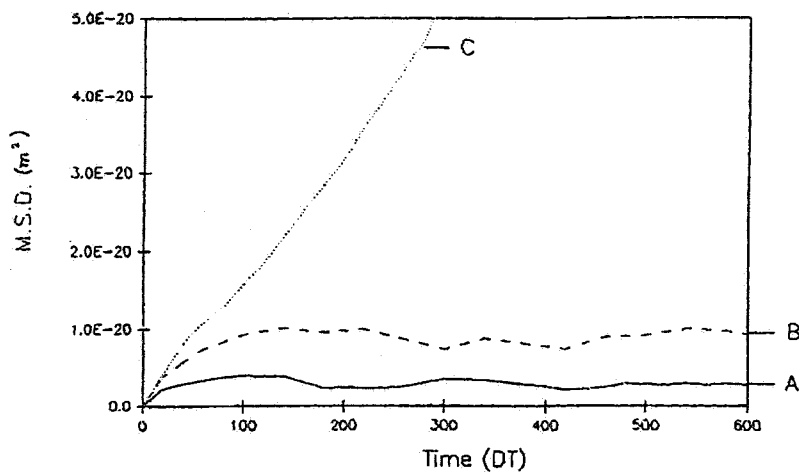
شکل ۲. نمودار تغییرات انرژی کل سیستم ۲۵۶ ذره ای بر حسب دما در هنگام گرم کردن و سرد کردن سیستم. نتایج به دست آمده در هنگام گرم کردن با دایره تو خالی و هنگام سرد کردن با نقاط توپر نشان داده شده است. پارامترهای به کار رفته در شبیه سازی روی شکل مشخص شده اند.



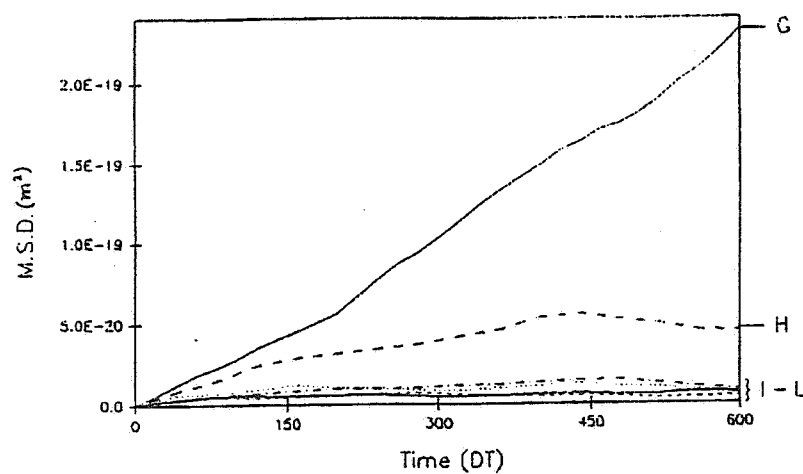
شکل ۳. نمودار میانگین مریع جابه جایی ذرات پس از زمان DT ۶۰۰ بر حسب دما برای سیستم مورد شبیه سازی مذکور.



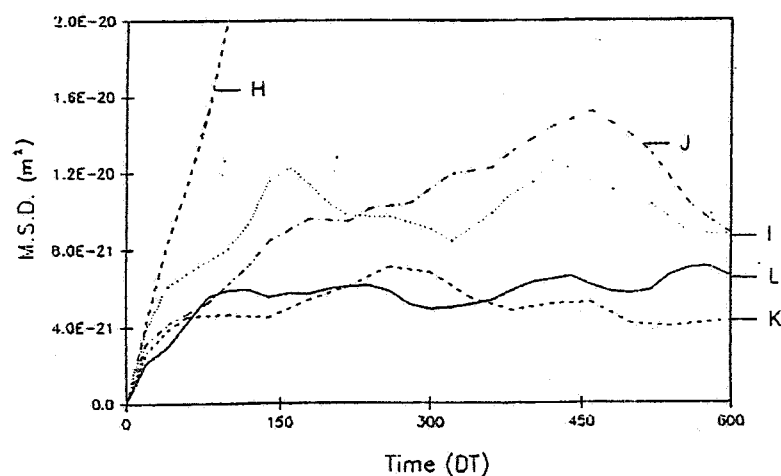
شکل ۴. تغییرات میانگین مریع جابه جایی بر حسب زمان در طی یک دوره گرمادهی برای نقاط مشخص شده در شکل ۲.



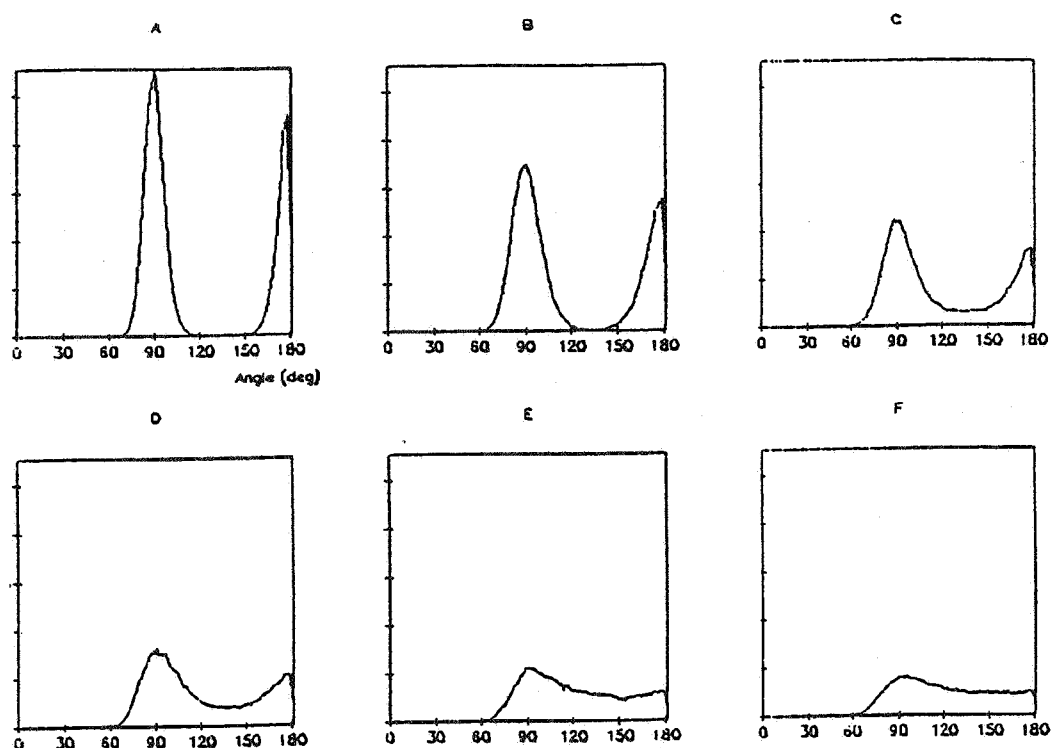
شکل ۵. قسمتی از شکل ۴ با بزرگنمایی زیاد. دقت در این شکل نشان می‌دهد که نقاط A و B نشان دهنده فاز جامد و نقطه C مبین حالت مذاب است.



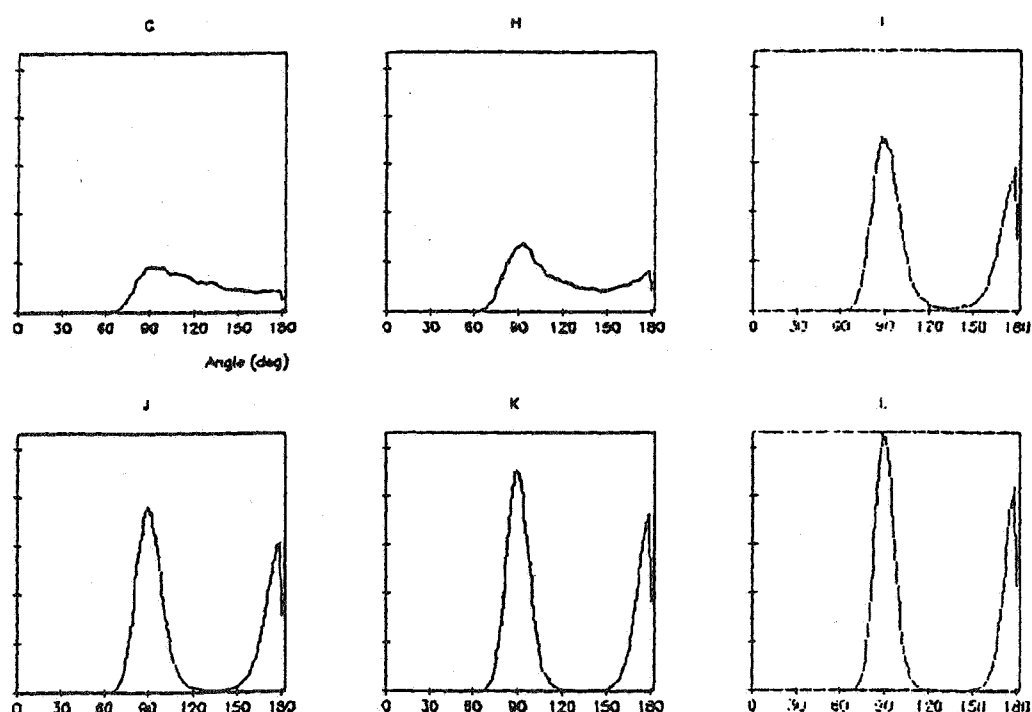
شکل ۶. نمودار تغییرات میانگین مربع جایه جایی ذرات بر حسب زمان برای نقاط G تا L مذکور. این شکل نشان می‌دهد که در نقطه G سیستم در فاز مایع است در حالی که در نقاط I تا L جامد می‌باشد.



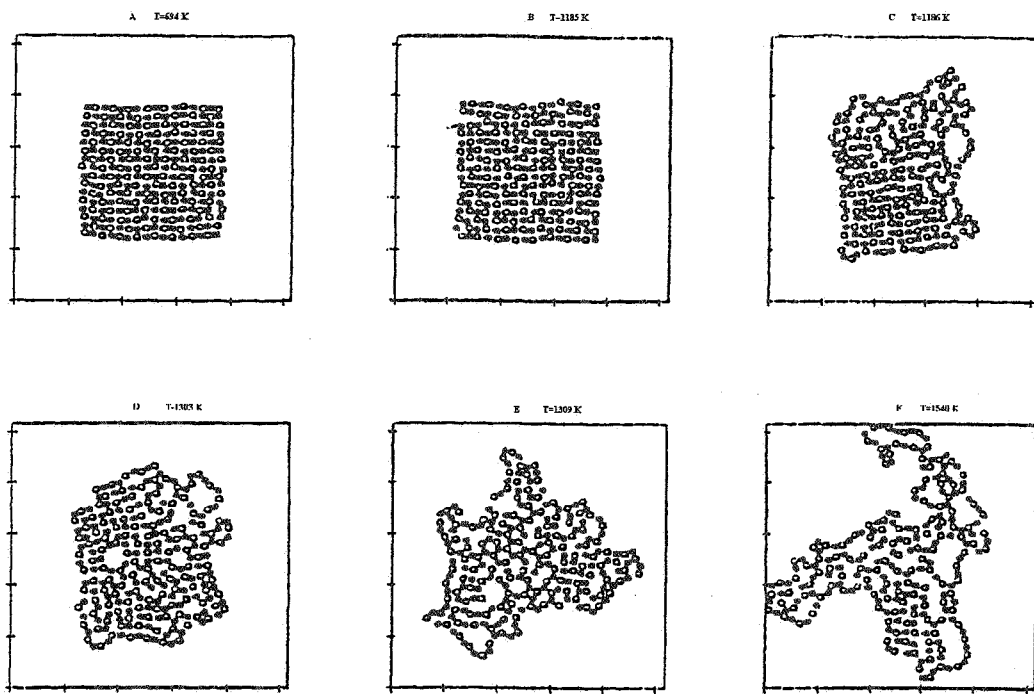
شکل ۷. مانند شکل ۶ با بزرگنمایی بیشتر است.



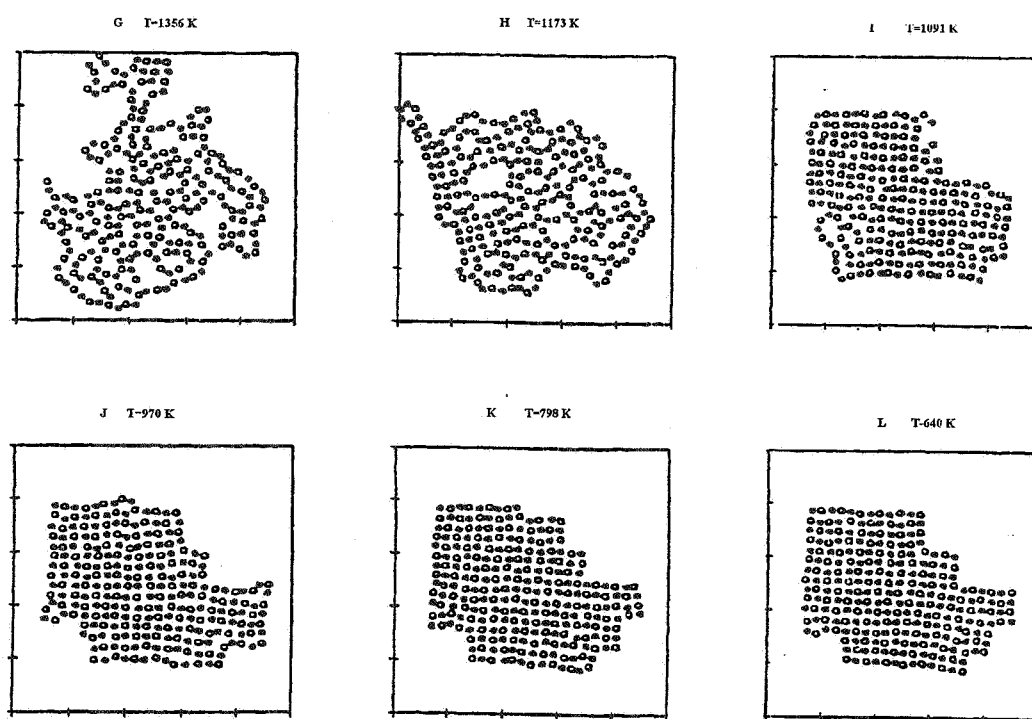
شکل ۸. توزیع زاویه پیوند سیستم در نقاط منتخب هنگام گرم کردن. در نقاط A، B و C زوایای غالب 90° و 180° می باشند که همان ساختار بلوری است، در حالی که در E و F سیستم کاملاً ذوب شده است.



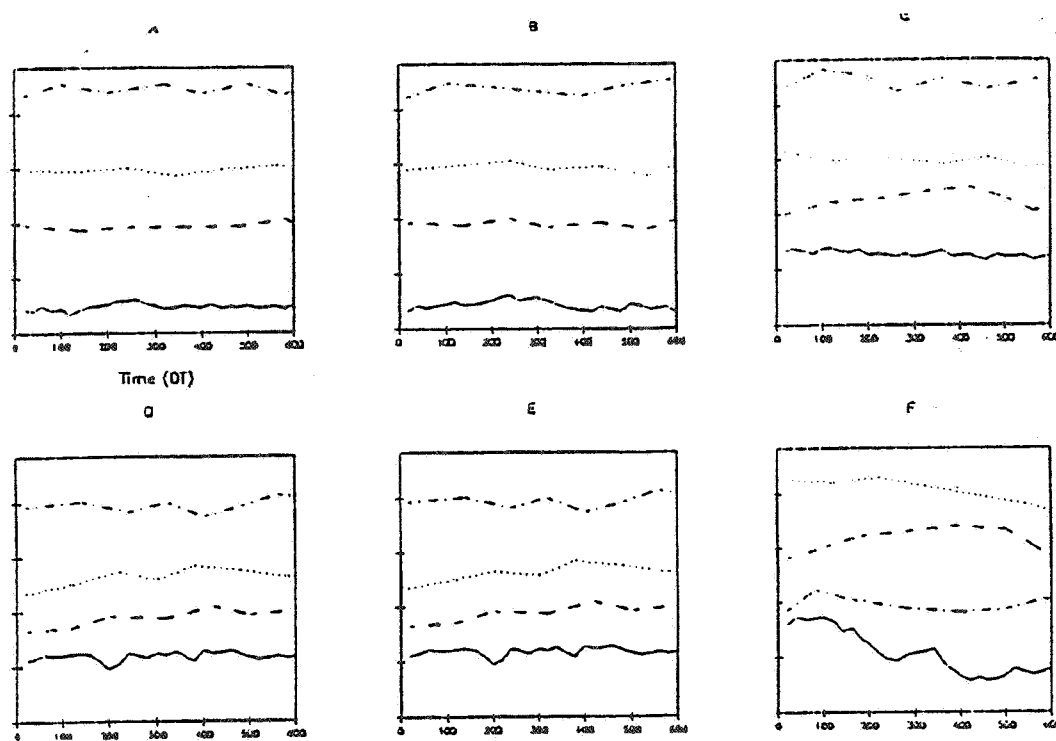
شکل ۹. مانند شکل ۸ است برای نقاط منتخب در فرایند سرد کردن سیستم.



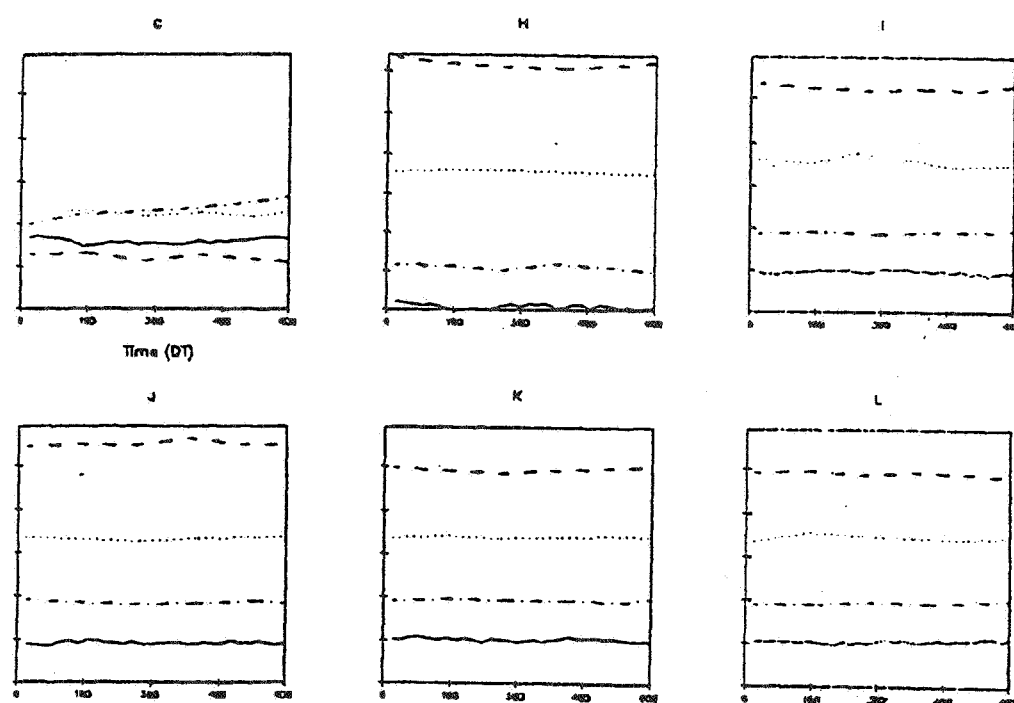
شکل ۱۰. عکس آنی سیستم در نقاط A تا F. یونهای Cl و K به ترتیب با دایره‌های خالی و توپر مشخص شده‌اند.



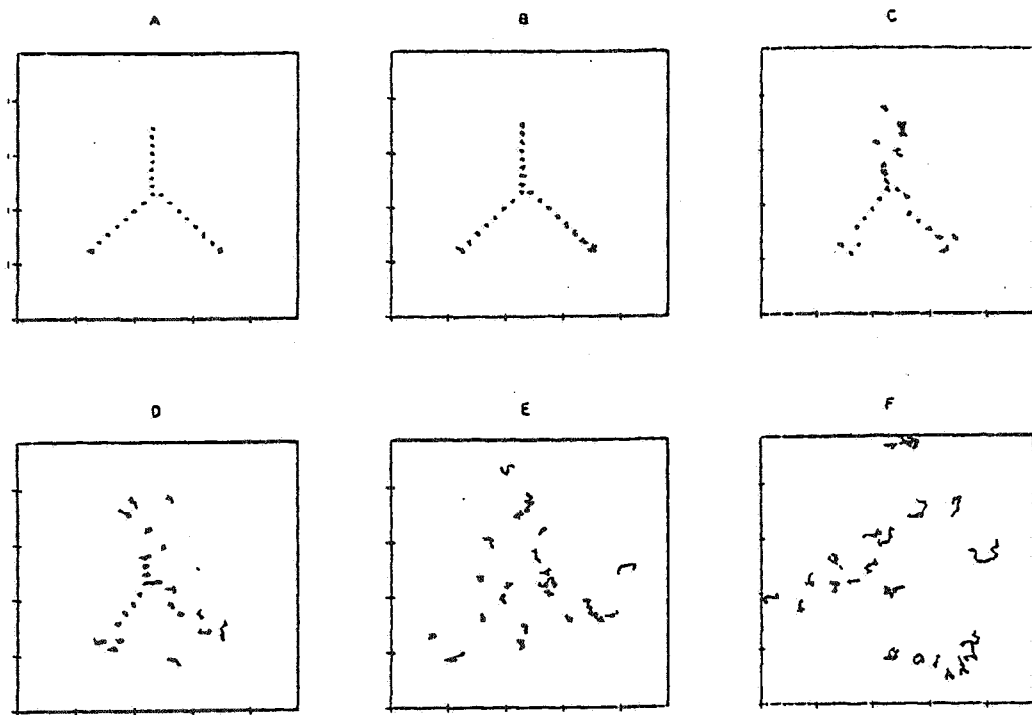
شکل ۱۱. مانند شکل ۱۰ است برای نقاط منتخب در فرایند سرد کردن.



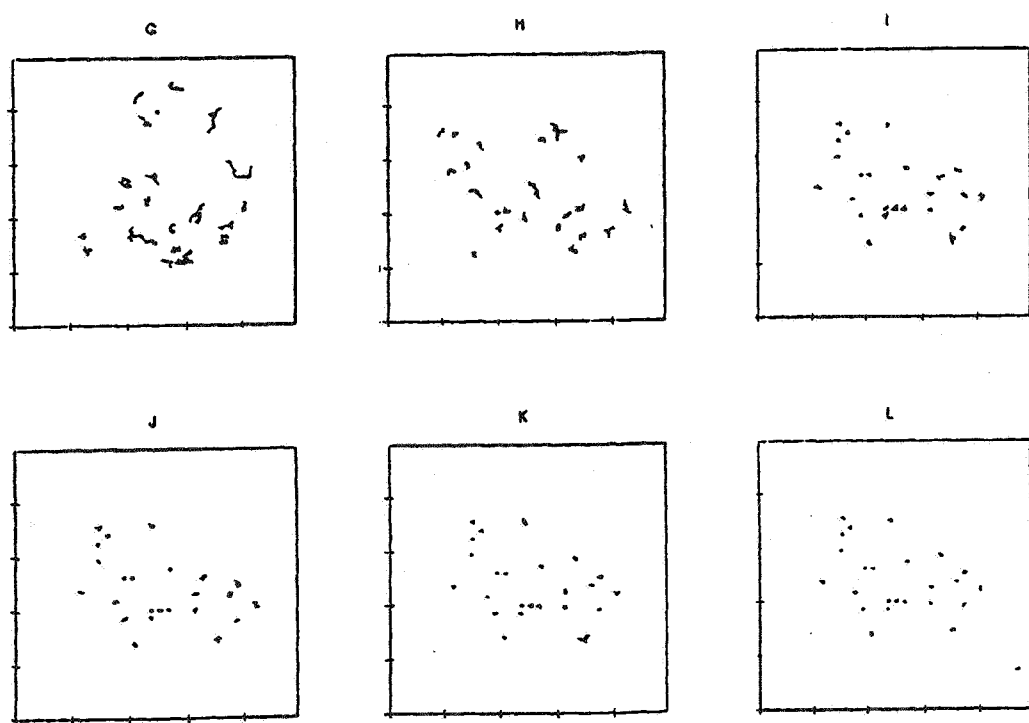
شکل ۱۲. نمودار تغییرات یک بعد (X یا Y) چندزده انتخابی بر حسب زمان برای نقاط A تا F



شکل ۱۳. مانند شکل ۱۲ است برای نقاط منتخب G تا L



شکل ۱۴. نمایش رد چند ذره انتخابی در صفحه $x-y$ بر حسب زمان برای نقاط انتخابی A تا F در فرایند گرم کردن سیستم. در نقطه‌ای مانند A که سیستم بلوری است هر ذره در حوالی مکان خود می‌ماند در حالی که پس از ذوب شدن رد ذرات گویای اتفاق است.



شکل ۱۵. مانند شکل ۱۴ است برای نقاط منتخب G تا L فرایند سرد کردن.

سیستم (شکل ۱۰ و ۱۱) و رسم حرکت یک بعدی (شکل ۱۲ و ۱۳) و دو بعدی (شکل ۱۴ و ۱۵) بعضی از ذرات انتخابی در طی زمان می توان تشخیص داد.

همه نمودارهای ذکر شده (شکلهای ۱۵-۲) در توافق با هم دلالت بر حالت بلوری سیستم در نقاط A، B و همچنین I، J، K و L دارند.

درخصوص بررسیهای شبیه سازی کامپیوتری برای ذوب دو بعدی، با بررسی سه اندازه متفاوت ($N=256, 64, 16$) توانستیم طبیعت گذار که مرتبه اول است را مشاهده کنیم. که این امر برخلاف پیشنهاد نظریه KTHNY و نتایج تعداد کمی از آزمایشها مبنی بر پیوسته (مرتبه دوم) بودن گذار، با بیشتر آزمایشها و شبیه سازیها توافق دارد. با افزایش تعداد ذرات سیستم (از ۱۶ به ۶۴ و بالاخره به ۲۵۶) گرمای نهان و در نتیجه گذار ذوب مرتبه اول خیلی واضحتر دیده می شود. البته ممکن است اندازه کوچک سیستم و زمان محدود اجرای برنامه درستی طبیعت گذار ذوب را مشکوک سازد. در نمودارهای انرژی کل، دقت بالایی برای وارسی کردن اثرات مربوط به اندازه های مختلف سیستم و مقدار گام زمانی اعمال شده بود. نمی توان با قاطعیت درباره مشاهده فاز هگزاتیک سخن گفت، به هر حال بین فاز منظم جامد و فاز نامنظم مایع، فازی با نظم میانی مشاهده شده است که ممکن است فاز هگزاتیک باشد و یا ناحیه همزیستی دوفاز جامد و مایع است. دمای گذار به دست آمده حدوداً با نتایج تجربی سیستم سه بعدی در توافق است. یکی از نتایجی که در این شبیه سازی به دست آمده برگشت پذیری به حالت بلوری بود. هر چند زمان شبیه سازی محدود بود ولی موفق شدیم سرعت سرد کردن سیستم را تا حدودی کند کنیم و به جای رسیدن به شیشه توانستیم به ساختمان بلوری آشکاری بررسیم.

همچنین در مورد طبیعت گذار مرتبه اول، نتایج به دست آمده با نتایجی که اخیراً در مورد ذوب خوشها که توسط ری، گارسیا، گالیجو، و گریمسون [۲۵] به دست آمده اند کاملاً در توافق است. از طرفی هم در مورد احتمال حضور فاز همزیستی

همان نقاط متناظر حالت گرم کردن نمی افتد و انرژی حالت سرد کردن همیشه برای یک دمای معین از حالت گرم کردن بیشتر است و علت این امر در این است که سیستم دقیقاً به همان نظم اولیه برنمی گردد و افزایش انرژی مربوط به میزان بی نظمی حالت جدید است.

برای تمیز حالت مایع از جامد می توان از بررسی میانگین مریع جابه جایی ذرات، عکس آنی سیستم، و توزیع زاویه پیوند یونها استفاده کرد. در شکل ۳ مقدار ذخیره شده میانگین مریع جابه جایی همه یونها، پس از ۶۰۰ گام زمانی، برحسب دما رسم شده است. در این شکل نیز نتایج به دست آمده در هنگام گرم کردن سیستم با دایره توخالی نشان داده شده اند. این شکل به وضوح گذار فاز را از حالت جامد به مایع و بر عکس نشان می دهد. می دانیم که شبیه خط میانگین مریع جابه جایی برحسب زمان متناسب با ثابت پخش است. انتظار می رود که در حالت جامد این چنین خطی افقی و در مورد مایع دارای شبیث مثبت باشد. این موضوع در بررسی نقاط منتخب شکل ۲ یعنی F تا A (هنگام گرم کردن) و G تا L (نتایج هنگام سرد کردن) روشن است. در شکلهای ۷-۴ مقادیر میانگین مریع جابه جایی یونهای سیستم برحسب زمان برای آخرین ۶۰۰ هر دوره گردیده رسم شده است.

هنگامی که سیستم شکل منظم بلوری داشته باشد انتظار داریم که یونها Cl و K یکی در میان در رأسهای مربعهای هماندازه قرار گیرند. اگر در این وضعیت زاویه پیوند K-Cl-K-Cl را اندازه بگیریم نزدیک به 90° و 180° است، ولی در فاز مایع این زاویه های پیوند (یا زاویه های که نزدیکترین همسایگان می سازند) توزیع تقریباً یکنواختی از $60-180^\circ$ درجه را دارند. در شکلهای ۸ و ۹ توزیع زاویه های پیوندی سیستم در نقاط منتخب A-F و G-L و R-S در درست در این نمودارها گذار بلور به مایع و مایع به بلور به وضوح مشاهده می شود. توجه به شکل ۹ به وضوح ساختار بلوری سیستم در نقاط I، J، K و L را نشان می دهد.

تغییر فاز بلور به مایع و بر عکس را با مطالعه عکس آنی

۱۳ تا ۱۴۷ ذره است که با ۱۶ تا ۲۵۶ ذره مورد مطالعه قابل مقایسه است.

قدرتانی

مؤلفین از زحمات و راهنماییهای مفید و بی‌دریغ آقای دکتر هادی اکبرزاده در تحلیل نتایج و تصحیح متن صمیمانه قدردانی می‌کنند.

جامد - مایع، نتایجی که به دست آورده‌یم با نتایجی که اخیراً در مورد ذوب خوش‌های که توسط سن و گانگ [۲۶] به دست آمده‌اند توافق بسیار خوبی را نشان می‌دهند. با اینکه این دو شبیه سازی مربوط به خوش‌های است ولی با کار حاضر دارای شباهتهای زیادی است. اولاً هر دو شبیه سازی از شرایط مرزی دوره‌ای استفاده نمی‌کنند و از این بابت با کار حاضر قابل مقایسه هستند. ثانیاً تعداد ذارت مورد استفاده در این شبیه سازیها بین

مراجع

15. L Verlet, *Phys. Rev.* **159**, (1967), 98.
16. H C Andersen, *J. Chem. Phys.* **72**, (1980), 2384.
17. K Binder, Ed., "Monte Carlo Methods in Statistical Physics," Topics in Current Physics, Vol. 7, Springer New York, (1979).
18. F F Abraham, *Phys. Rev. Lett.* **44**, (1980), 463.
19. F F Abraham, *Phys. Rep.* **80**, (1981), 339.
20. M E Fisher and D A Huse, "Melting, Localization, and Chaos", edited by R K Kalia and P Vashishta, North Holland, Amesterdam, (1982), p. 259.
21. F F Abraham, *Phys. Rev.* **B23**, (1981), 6145.
22. Ph Choquard and J Clerouin, *Phys. Rev. Lett.* **50**, (1983), 2986.
23. M O Robbins, et. al., *Phys. Rev.* **B42**, (1990), 5579.
24. K J Strandburg, *Rev. of Modern Phys.* **60**, (1988), 161.
25. C Rey J Garcia-Rodeja, L J Gallego and M J Grimson, *Phys. Rev.* **E57**, (1998), 4420.
26. D Y Sun and X G Gong, *Phys. Rev.* **B57**, (1998), 4730.
27. S Gupta, *Comp. Phys. Comm.* **70**, (1992), 243.
28. O Buneman, *J. Comput. Phys.* **1**, (1967), 517.
29. R W Hockney, *Meth. Comput. Phys.* **9**, (1970), 517.
30. M Amini and R W Hockney, *J. Non-Cryst. Solids*, **31**, (1979), 447-452.
1. J M Kosterlitz and D J Thouless, "Progres in Low Temperature Physics," Vol. VII-B, edited by D F Brewer, North-Holland, Amsterdam (1978), p. 373.
2. J M Kosterlitz and D J Thouless, *J. Phys.* **C6**, (1973), 1181.
3. B L Halperin and D R Nelson, *Phys. Rev. Lett.* **41**, (1978), 121.
4. D R Nelson and B I Halperin, *Phys. Rev.* **B19**, (1979), 2457.
5. A P Young, *Phys. Rev.* **B19**, (1979), 1855.
6. D S Fisher, B L Haiperin and R Morf, *Phys. Rev.* **B34**, 20, (1979), 4692.
7. S T Chui, *Phys. Rev. Lett.* **48**, (1982), 933.
8. S T Chui, *Phys. Rev.* **B28**, (1983), 178.
9. B Joos and M S Duesbery, *Phys. Rev. Lett.* **55**, (1985), 1997.
10. J F Fernaldz and M F Ferrcira, *Phys. Rev.* **B34**, (1986), 292.
11. Y Saito and H Muller-Krumbhaar, "Applications of the Montc Carlo Method in Statistical Physics", edited by K. Binder, Topics in Current Physics, Vol. 36, (Springer, New York), (1984), p. 223.
12. K J Strandburg, *Phys. Rev.* **B34**, (1986), 3536.
13. C A Murray and D H van Winkle, *Phys. Rev. Lett.* **58**, (1987), 1200.
14. A Rahman, *Phys. Rev.* **136A**, (1964), 405.